

## مدل‌سازی تراز آب زیرزمینی دشت میاندوآب با استفاده از الگوریتم‌های انتخابات، ژنتیک و روش شبکه عصبی مصنوعی

سمیه امامی<sup>\*</sup>، یحیی چوپان<sup>۲</sup>، جواد پارسا<sup>۳</sup>

۱. دانشجوی دکتری سازه‌های آبی دانشگاه تبریز

۲. دانشجوی دکتری آبیاری و زهکشی دانشگاه علوم کشاورزی و منابع طبیعی گرگان

۳. استادیار گروه مهندسی آب دانشگاه تبریز

(تاریخ دریافت ۱۲/۱۱/۱۳۹۶؛ تاریخ تصویب ۰۷/۰۱/۱۳۹۷)

### چکیده

پیش‌بینی تغییرات تراز آب زیرزمینی در دوره‌های آتی و امکان برنامه‌ریزی و مدیریت منابع آب برای بهبود شرایط آبخوان در آینده، بسیار مهم است. در پژوهش حاضر، برای اولین بار با استفاده از الگوریتم انتخابات که یک الگوریتم تکرارشونده است و از انتخابات ریاست جمهوری الهام گرفته و با مجموعه‌ای از راه حل‌های شناخته‌شده به عنوان جمعیت کار می‌کند، به پیش‌بینی تراز آب زیرزمینی دشت میاندوآب در استان آذربایجان غربی پرداخته شد و نتایج به دست آمده از این روش با نتایج روش‌های شبکه عصبی مصنوعی و الگوریتم ژنتیک مقایسه شد. داده‌های تراز سطح آب دشت میاندوآب، داده‌های هواشناسی مانند دما، بارش، رطوبت، تبخیر و داده‌های آب‌های سطحی در دوره آماری ۱۳۸۵-۱۳۹۵ در مقیاس ماهانه برای آموزش و آزمون مدل‌ها استفاده شد. براساس محاسبه‌های انجام شده و نتایج به دست آمده از پارامترهای آماری، الگوریتم انتخابات به ترتیب با مقادیر ریشه میانگین مربعات خطأ (RMSE)، ضریب همبستگی ( $R^2$ ) و معیار نش-Satckleif (NSE)، ۰/۰۲۷ و ۰/۹۳ و ۰/۷۴ نسبت به دو روش شبکه عصبی مصنوعی و الگوریتم ژنتیک، توانایی در خور توجهی در پیش‌بینی تراز سطح آب زیرزمینی دارد و نتایج قابل اطمینانی را ارائه می‌دهد.

**کلیدواژگان:** آب زیرزمینی، الگوریتم انتخابات، مدل‌سازی، منابع آب.

## مقدمه

منابع آب زیرزمینی به عنوان یکی از منابع اصلی تأمین کننده آب شیرین در مناطق خشک و نیمه خشک مانند ایران محسوب می‌شوند. حوضه آبریز دریاچه ارومیه یکی از مناطقی است که در آن بخش درخور توجهی از نیاز آبی با اتکا به منابع آب زیرزمینی تأمین می‌شود و طی دو دهه اخیر به دلیل نبود مدیریت صحیح منابع آب، با مشکلات بسیاری از جمله کاهش سطح آب دریاچه به علت کاهش آب ورودی از طریق رودخانه‌ها رو به رو شده است. سیستم آب سطحی و زیرزمینی در این حوضه آبریز به صورت مستقل از هم عمل نمی‌کنند و تأثیر متقابل بر یکدیگر دارند. از این‌رو، هرگونه بهبود در چگونگی بهره‌برداری از آبخوان‌های این حوضه می‌تواند به روند تأمین نیاز آبی دریاچه کمک کند [۱]. مدیریت صحیح منابع آب در دشت میاندوآب که به عنوان اصلی ترین دشت‌های حوضه آبریز دریاچه، حدود ۵۰ درصد از تمامی آب‌های سطحی وارد شده به دریاچه ارومیه را از خود عبور می‌دهد، می‌تواند کارکرد مهمی در بهبود وضعیت دریاچه داشته باشد. بنابراین، ارزیابی تأثیر مدیریت مناسب منابع آب زیرزمینی در دشت میاندوآب ضروری به نظر می‌رسد [۲]. مدل‌سازی آب زیرزمینی با استفاده از مدل‌های عددی، شناخت کافی از وضعیت آبخوان و ارتباط آن با سایر منابع آبی را در اختیار بهره‌برداران قرار داده و بررسی تأثیر عوامل مختلف روی تغییرات منابع آب زیرزمینی را آسان می‌کند. در سال‌های اخیر کاربرد سامانه‌های هوشمند برای پیش‌بینی و مدل‌سازی تراز آب زیرزمینی به سرعت رو به افزایش است که دلیل این امر به آسانی کاربرد و دقت زیاد این مدل‌ها در تقریب معادله‌های غیرخطی و پیچیده ریاضی برمی‌گردد [۳].

## پیشینه تحقیق

الگوریتم‌های فراتکاری یا فراتکاملی (نوعی از الگوریتم‌های تصادفی هستند که برای یافتن پاسخ بهینه به کار می‌روند) یکی از انواع الگوریتم‌های برونو رفت از نقاط بهینه محلی هستند و قابلیت کاربرد در طیف گسترده‌ای از مسائل را دارند [۴] و در شبکه‌های عصبی مصنوعی به منظور مدل‌سازی و پیش‌بینی وضعیت تراز سطح ایستابی و منابع آب‌های زیرزمینی به کار می‌روند. تا کنون مطالعات مختلفی توسط پژوهشگران در مناطق مختلف در این زمینه صورت گرفته است که به برخی از آنها اشاره می‌شود:

محتمم و همکارانش [۳] به منظور پیش‌بینی سطح ایستابی دشت بیرون از شبکه عصبی مصنوعی استفاده کردند. نتایج پژوهش آنها نشان داد با استفاده از شبکه عصبی می‌توان تراز آب زیرزمینی را تا ۱۲ ماه بعد و با دقت بیشتر نسبت به روش‌های دیگر تخمین زد. یانگ و همکارانش [۴] برای پیش‌بینی تراز آب زیرزمینی در غرب چین از شبکه عصبی مصنوعی استفاده کردند و عملکرد این مدل را مناسب دانستند. شیری و کیسی [۷] به منظور بررسی نوسانات کوتاه‌مدت سطح آب زیرزمینی دو چاه در ترکیه، از روش‌های برنامه‌ریزی بیان ژن و فازی-عصبی استفاده کردند. نتایج به دست آمده از پژوهش ایشان بیان کننده مناسب‌بودن دو روش یادشده در بررسی نوسانات سطح ایستابی بود. رجائی و پور اصلاح [۸] به پیش‌بینی زمانی و مکانی تراز آب زیرزمینی دشت داورزن با استفاده از روش‌های پرسپکترون چند لایه شبکه عصبی و کریجینگ پرداختند. داده‌های ورودی شامل سری زمانی آب زیرزمینی به مدت هشت سال بود. نتایج مطالعه آنان نشان داد روش شبکه عصبی به ترتیب با میانگین ضریب انطباق و ضریب همبستگی  $0.657$  و  $0.688$  نتایج قابل قبولی را برای دشت داورزن ارائه داد. محمودی جم و همکارانش [۹] با استفاده از رویکرد ترکیبی الگوریتم ازدحام ذرات (PSO) و اطلاعات مکانی (GIS) به پتانسیل‌سنجی منابع آب زیرزمینی دشت مهران اقدام کردند. پس از حل معادلات بهینه‌سازی با استفاده از الگوریتم PSO به این نتیجه رسیدند که نقشه‌های شیب، تراکم خطواره و تراکم زهکشی در هر دو حالت حل مسئله پتانسیل‌سنجی به روش PSO، کمترین ضرایب را به خود اختصاص دادند. حبیبی و همکارانش [۱۰] از مدل ترکیبی ژنتیک کریجینگ برای پیش‌بینی زمانی و مکانی سطح آب زیرزمینی آبخوان دشت هادی شهر استفاده کردند. نتایج پژوهش آنها نشان داد دقت مدل برنامه‌ریزی ژنتیک بیشتر از مدل نروفازی است به طوری که RMSE میانگین برای پیزومترهای منتخب در مرحله آزمایش در مدل برنامه‌ریزی ژنتیک ۱۹ سانتی‌متر و در مدل نروفازی ۲۳ به دست آمد.

موسوی و همکارانش [۱۱] برای پیش‌بینی سطح آب زیرزمینی آبخوان مشهد، از روش‌های مختلف هوش مصنوعی استفاده کردند. نتایج پژوهش آنان نشان داد موجک نروفازی نسبت به روش‌های شبکه عصبی مصنوعی، موجک شبکه

تطبیقی فازی- عصبی و برنامه‌ریزی بیان ژن بودند. نتایج به دست آمده از مطالعه آنها، بیان می‌کرد که هر سه روش شبکه‌های عصبی، فازی- عصبی و برنامه‌ریزی بیان ژن می‌توانند به طور موفقیت‌آمیزی برای پیش‌بینی نوسانات سطح ایستابی استفاده شوند. محمدی و همکارانش [۱۷] کارابی الگوریتم هیبریدی از دحام ذرات در شبیه‌سازی تراز سطح ایستابی آبخوان دشت اردبیل را بررسی کردند. نتایج پژوهش آنها بیان کننده عملکرد خوب این الگوریتم با محدود میانگین مربعات خطأ  $417 \pm 0$  بود.

با بررسی مطالعات انجام شده، مشاهده شد که دامنه مطالعات در خصوص به کارگیری الگوریتم‌های فرابتکاری در مدل‌سازی و پیش‌بینی تراز آب زیرزمینی بسیار محدود بوده است. با توجه به آنچه گفته شد، تمامی این روش‌ها، روش‌های فرابتکاری هستند که از طبیعت الهام گرفته شده‌اند و استراتژی هر یک در رسیدن به جواب بهینه یا تابع هدف با هم متفاوت است. از این‌رو، پژوهش حاضر به منظور بررسی عملکرد و اثبات کارابی الگوریتم انتخابات (برای نخستین بار) به عنوان روش تکاملی نوین و همچنین سازگاری این الگوریتم با تعداد کمتری از پارامترها، در پیش‌بینی و مدل‌سازی تراز سطح آب زیرزمینی در دشت میاندوآب واقع در استان آذربایجان غربی انجام شده و نتایج به دست آمده از آن با نتایج روش‌های شبکه عصبی مصنوعی و نیز الگوریتم ژنتیک مقایسه شد. هدف از انتخاب و کاربرد روش‌های یادشده در پژوهش حاضر، این بود که مشخص شود کدامیک از روش‌های فرابتکاری و استراتژی مربوط به آن توانایی بیشتری در حل مسئله (مدل‌سازی تراز آب زیرزمینی) دارد.

### مواد و روش‌ها

#### منطقه مطالعه‌شده و داده‌ها

دشت میاندوآب در قسمت جنوبی دریاچه ارومیه و در استان آذربایجان غربی واقع شده است. موقعیت جغرافیایی دشت بین مدار  $36^{\circ}$  درجه و  $50^{\circ}$  دقیقه تا  $37^{\circ}$  درجه و  $15^{\circ}$  دقیقه عرض شمالی و  $45^{\circ}$  درجه و  $50^{\circ}$  دقیقه تا  $46^{\circ}$  درجه و  $15^{\circ}$  دقیقه عرض شرقی است. توپوگرافی کلی دشت میاندوآب به صورت یکنواخت و هموار بوده و فقط تعدادی تپه کوچک در قسمت مرکزی آن قرار گرفته است. در شکل ۱ موقعیت جغرافیایی دشت میاندوآب روی نقشه نشان داده شده است. متوسط ارتفاع دشت از سطح دریا برابر  $1292$  متر است،

عصبی مصنوعی و نروفازی می‌تواند پیش‌بینی درست‌تری از سطح آب زیرزمینی داشته باشد. تقی‌زاده و فریدونی [۱۲] تراز سطح آب زیرزمینی دشت ارسنجان را با به کارگیری دو روش موجک سیستم استنتاج فازی عصبی (ANFIS) و موجک - شبکه عصبی (MPL) شبیه‌سازی کردند. نتایج مطالعه یادشده نشان داد بهترین نتیجه شبیه‌سازی مربوط به الگوی (W-1) از روش موجک سیستم استنتاج فازی عصبی با ضریب همبستگی  $0.9786$  بود. فریدونی و زاهدی [۱۲] به پیش‌بینی زمانی و مکانی تغییرات سطح آب زیرزمینی با استفاده از مدل‌های شبکه عصبی مصنوعی (MLP) و سیستم استنتاج فازی عصبی تطبیقی (ANFIS) و تکنیک‌های زمین‌آمار (GIS) به روش کریجینگ در دشت ارسنجان پرداختند. نتایج پژوهش آنها نشان داد سیستم استنتاج فازی عصبی تطبیقی (Gaussian) می‌تواند تراز آب زیرزمینی را در دو ماه آینده برای ۱۲ چاه مشاهده‌ای بهتر از شبکه عصبی مصنوعی (MLP) پیش‌بینی کند.

خاشعی سیوکی و همکارانش [۱۳] روش‌های مدل‌های شبکه عصبی مصنوعی، ANFIS و رگرسیون را در برآورد سطح ایستابی آبخوان دشت نیشابور مقایسه کردند. در تحقیق یادشده پارامترهای مؤثر بر تغییرات سطح ایستابی مانند بارندگی و تخلیه به صورت ماهانه تعیین شد و با استفاده از روش‌های زمین‌آماری نقشه‌های پهنه‌بندهای شده ماهانه به دست آمد. نیکمنش [۱۴] تراز آب زیرزمینی دشت خرامه را با روش‌های تلفیقی هوش مصنوعی (شبکه عصبی- الگوریتم ژنتیک) پیش‌بینی کرد و نتایج به دست آمده را با نتایج مشاهداتی مقایسه کرد. این مدل هوش مصنوعی با ترکیب  $8$  نرون در لایه ورودی  $9$  نرون در لایه پنهان و یک نرون در لایه خروجی توانست پیش‌بینی قابل قبولی از تراز آب زیرزمینی دشت خرامه ارائه دهد. اکبرزاده و همکارانش [۱۵] تراز آب زیرزمینی دشت شاهرود را با استفاده از شبکه عصبی مصنوعی تابع پایه شعاعی پیش‌بینی کردند. نتایج پژوهش آنها نشان داد مدل شبکه عصبی ارائه شده، تراز آب دشت شاهرود را برای سه سال پیاپی با میانگین مربعات خطای  $0.241$  متر می‌تواند پیش‌بینی کند.

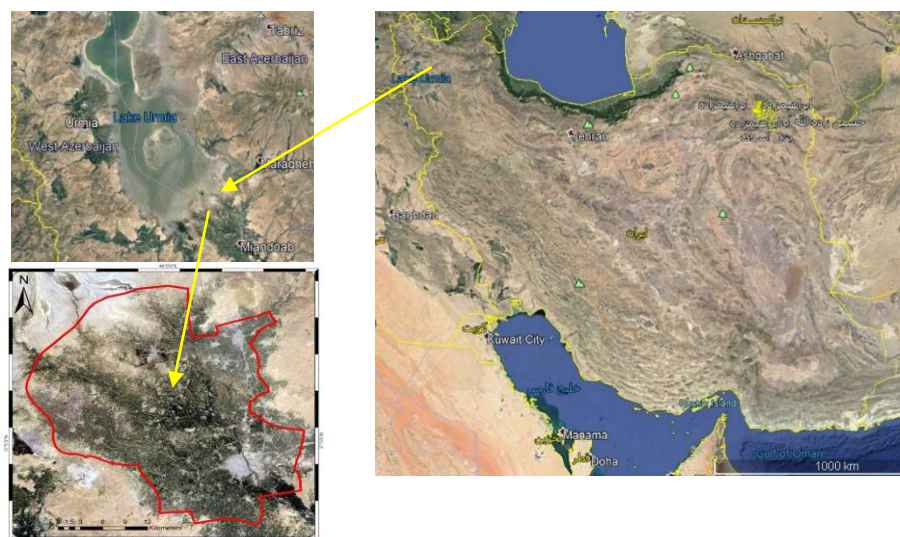
ابارشی و همکارانش [۱۶] عملکرد سه روش هوش مصنوعی برای پیش‌بینی نوسانات تراز سطح ایستابی در حوضه زرین‌گل استان گلستان را مقایسه کردند. این مدل‌ها شبکه‌های عصبی مصنوعی، سامانه استنتاج

### زمین‌شناسی و ساختمان دشت

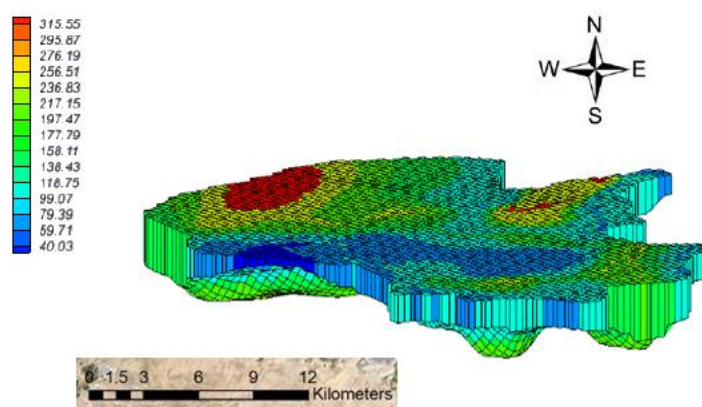
تشکیلات آبرفتی ساختمان اصلی دشت را تشکیل داده که به صورت مخروط‌افکنه و رسوبات رودخانه‌ای ظهرور پیدا کرده‌اند. ضخامت آبرفت در گستره دشت متغیر است و از حدود چند متر در حوالی کوه‌های اطراف تا بیش از ۱۵۰ متر در حوالی شهرهای میاندوآب و ملکان می‌رسد. در شمال ناحیه در بستر رودخانه مردوق چای ضخامت رسوبات آبرفتی حداکثر به ۸۰ متر می‌رسد. در شرق میاندوآب ضخامت آبرفت حدود ۳۰ متر با لایه‌های ریز همراه با رس است و در شرق ناحیه به علت وجود رودخانه لیلان چای ضخامت در این ناحیه به ۱۶۰ متر می‌رسد. در شکل ۲، نقشه سه‌بعدی ضخامت آبخوان دشت میاندوآب روی نقشه نشان داده شده است [۱].

همچنین پست‌ترین نقطه دشت دارای ارتفاع ۱۲۹۷ متر از سطح دریا و ارتفاع معادل با ۱۴۰۰ متر از سطح دریا برای بلندترین نقطه دشت ثبت شده است (۳ و ۴).

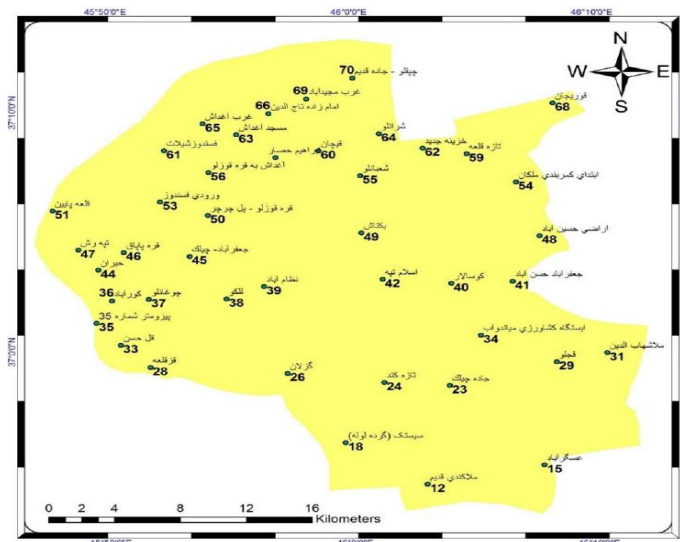
این دشت حدود نیمی از جریانات سطحی ورودی به دریاچه را از خود عبور داده است و نیز حدود ۲۰ درصد از کل برداشت‌های آب زیرزمینی در حوضه آبریز دریاچه ارومیه به این منطقه اختصاص دارد. عمده‌ترین منابع آب‌های سطحی عبوری از دشت میاندوآب، رودخانه زرینه‌رود و سیمینه‌رود هستند که پس از سیراب کردن اراضی دشت یادشده، به دریاچه ارومیه تخلیه می‌ریزند [۱۸]. عمق آب زیرزمینی در منطقه به نسبت زیاد بوده و بین ۳ تا ۲۵ متر متغیر است و عملأً چگونگی بهره‌برداری از منابع آب زیرزمینی دشت به صورت مستقیم روی آبدهی جریانات سطحی عبوری از آن تأثیر خواهد گذاشت.



شکل ۱. موقعیت جغرافیایی دشت میاندوآب



شکل ۲. نقشه سه‌بعدی ضخامت آبخوان دشت میاندوآب



شکل ۳. محل پیزومترها روی نقشه منطقه مطالعاتی

از کاندیداها نتواند اکثریت مطلق آرا را کسب کند، انتخابات به دور دوم کشیده می‌شود و بین دو کاندیدایی که بیشترین رأی را کسب کرده باشند، صورت می‌گیرد. الگوریتم انتخابات یک الگوریتم تکرارشونده است که با مجموعه‌ای از راه حل‌های شناخته شده به عنوان جمعیت کار می‌کند. مبارزة تبلیغاتی هسته الگوریتم است و شامل سه گام تبلیغات مثبت، تبلیغات منفی و ائتلاف می‌شود. این فرایندها به قدری تکرار می‌شوند تا الگوریتم به بهینه سراسری همگرا شود [۲۰].

مراحل الگوریتم EA به صورت زیر است:

۱. تولید جمعیت اولیه؛
۲. ارائه ایده‌های نامزدها به رأی دهنگان (تبلیغات مثبت)؛
۳. آموزش ایده‌های بهتر نامزدها از رأی دهنگان و بهبود موقعیت خود؛
۴. انتخاب آگهی منفی توسط نامزدها (تبلیغات منفی)؛
۵. تجمعیت ایده‌های مشابه؛
۶. بررسی معیار توقف الگوریتم، و گرنه برو به مرحله ۳؛
۷. اتمام.

#### شبیه‌سازی شبکه عصبی مصنوعی

تمامی مسائل بهینه‌سازی شامل دو مرحله مدل‌سازی و برنامه‌ریزی می‌شود که به ترتیب تشکیل تابع هدف، قیود و محدودیتها (مرحله اول، مدل‌سازی) و تعیین شرایط بهینه در رسیدن به جواب ایده‌آل (مرحله دوم، برنامه‌ریزی) هستند [۲۱].

براساس نتایج آخرین آماربرداری‌های صورت گرفته، میزان برداشت از منابع آب زیرزمینی در محدوده مطالعاتی میاندوآب برابر با ۳۵۰ میلیون مترمکعب در سال است که از طریق ۱۴۰۹۶ حلقه چاه انجام می‌شود. آبخوان دشت میاندوآب با وسعت ۱۲۵۰ کیلومترمربع، ۲۴۰ میلیون مترمکعب از این مقدار را به خود اختصاص داده که البته در محدوده در نظر گرفته شده است [۱۹].

#### الگوریتم انتخابات (EA)

یکی از الگوریتم‌های جست وجو و بهینه‌سازی جدید، الگوریتم انتخابات است که در سال ۲۰۱۵ توسط امامی ابداع شد. این الگوریتم از انتخابات ریاست جمهوری الهام گرفته شده است. در سطح ملی، رئیس جمهور به عنوان رئیس کشور به طور مستقیم توسط مردم انتخاب می‌شود. پس از اعلام اسامی کاندیداهای تأیید صلاحیت شده، تبلیغات انتخاباتی در یک محدوده زمانی مشخص آغاز می‌شود. تبلیغات شامل دو بخش تبلیغات مثبت و منفی است که تبلیغات مثبت به ارائه ایده‌های نامزدها به رأی دهنگان و تبلیغات منفی به صورت انتخاب آگهی منفی توسط نامزدها گفته می‌شود.

برنده شدن یک کاندیدا در مرحله اول انتخابات ریاست جمهوری، به کسب اکثریت مطلق آراء شرکت‌کنندگان در انتخابات نیاز دارد. یعنی برای برنده شدن در انتخابات، یک کاندیدا باید بیش از ۵۰ درصد آراء کسانی که در انتخابات مشارکت می‌کنند، را به دست آورد. در صورتی که هیچ یک

به صورت ورودی به شبکه داده شد و بر اساس ورودی‌های یادشده، تراز آب زیرزمینی پیش‌بینی شد.

### الگوریتم ژنتیک (GA)

این الگوریتم مبتنی بر تکرار بوده و اصول اولیه آن از علم ژنتیک اقتباس شده است. در الگوریتم ژنتیک (GA) ابتدا به طور تصادفی جامعه‌ای از کروموزوم‌ها ایجاد و سپس برازنده‌گی آن‌ها محاسبه و تعیین می‌شود. در ادامه، به وسیله عملگرهای پیوند و جهش جامعه‌ای جدید با مقادیر برازنده‌گی بیشتر تولید می‌شود [۲۲].

طرح کلی الگوریتم ژنتیک به صورت شکل ۵ است.

هدف از پژوهش حاضر، پیش‌بینی تراز آب زیرزمینی در مقیاس ماهانه است. روش انجام کار به صورت زیر است:

- آماده‌سازی و آنالیز داده‌ها شامل بررسی همبستگی؛
- نرم‌افزاری داده‌ها؛
- پیش‌بینی تراز آب زیرزمینی با استفاده از الگوریتم انتخابات، ژنتیک و شبکه عصبی مصنوعی.

### آماده‌سازی و آنالیز داده‌ها

به منظور پیش‌بینی تراز آب زیرزمینی دشت میاندوآب، از چندین متغیر استفاده شد. این اطلاعات شامل داده‌های مربوط به میزان برداشت از آب زیرزمینی، مشخصات جریانات سطحی، چاههای مطالعاتی، اطلاعات هواشناسی، خصوصیات و پارامترهای آبخوان و نقشه سنگ‌شناسی و خاک‌شناسی منطقه هستند. داده‌های سطح ایستابی استفاده شده در این پژوهش برای یک دوره ۱۰ ساله (۱۳۸۵ – ۱۳۹۵) در مقیاس ماهانه هستند. مشخصات چاههای مشاهده‌ای و بیلان آب زیرزمینی دشت میاندوآب در جدول‌های ۱ و ۲ ارائه شده است.

شبکه عصبی مصنوعی متشکل از نرون‌ها با ارتباطات داخلی بین یکدیگر است که می‌تواند بر اساس اطلاعات و داده‌های ورودی، جواب‌های خروجی را تهیه کند. شبکه‌های عصبی معمولاً به صورت لایه‌لایه و منظم ایجاد می‌شوند. اولین لایه که اطلاعات و داده‌های ورودی به آن وارد می‌شود، لایه ورودی است. لایه‌های میانی لایه‌های مخفی و آخرین لایه که جواب‌های خروجی از مدل را فراهم می‌کنند، لایه خروجی است (۲۰).

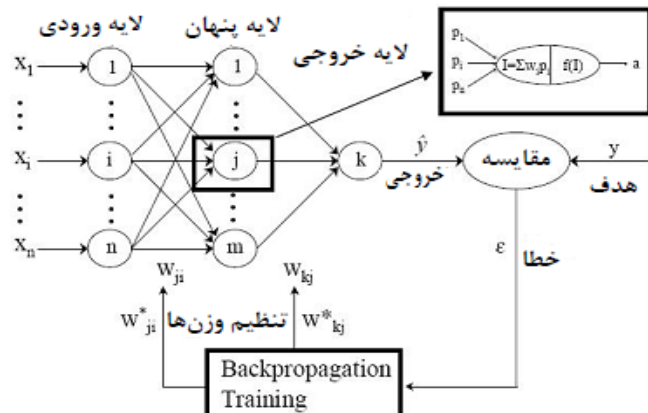
مجموعه کل ورودی به نرون از رابطه ۱ بدست می‌آید:

$$net_j = \sum_{i=1}^n w_{ij} x_i \quad (1)$$

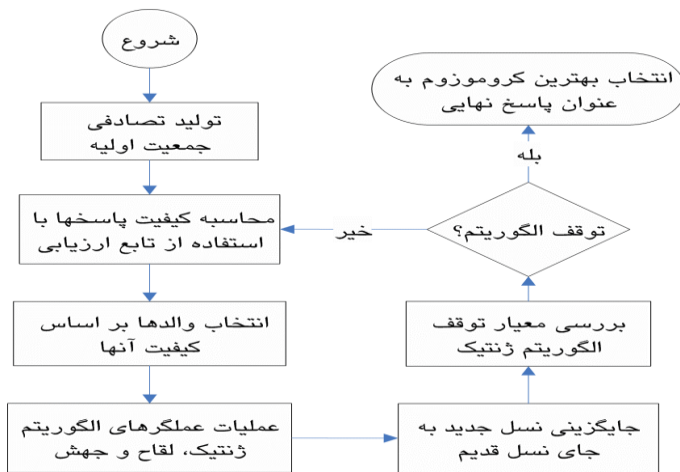
که در آن،  $net_j$  کل ورودی به نرون،  $x_i$  لایه ورودی و  $w_{ij}$  شدت اتصال نرون‌ها است که طی فرایند یادگیری مشخص می‌شوند. مرحله بعدی شامل تعیین سطح خروجی از نرون به روی جمع ورودی‌ها اعمال می‌شود.تابع فعالیت استفاده شده در تحقیق حاضر، تابع سیگموئید است و خروجی شبکه، صفر و یک است، که به صورت زیر تعریف می‌شود:

$$f(s_j) = \frac{1}{1+e^{-s_j}} \quad (2)$$

در این رابطه،  $f(s_j)$  معرف تابع سیگموئید (تابعی حقیقی، کران‌دار و مشتق‌پذیر است که به‌ازای کلیه مقادیر حقیقی تعریف می‌شود و مشتق مثبت دارد. این تابع به لحاظ گرافیکی شبیه حرف S انگلیسی است)، است [۲۱]. برای ارزیابی روش شبکه عصبی مصنوعی در پیش‌بینی تراز آب زیرزمینی، پس از آموزش شبکه، داده‌های هواشناسی (دما، بارش، تبخیر و دبی ورودی رودخانه‌های زرینه‌رود و سیمینه‌رود) و نیز سطح آب زیرزمینی ماهانه



شکل ۴. شبکه عصبی سه‌لایه پیش رو با الگوریتم آموزش انتشار برگشتی



شکل ۵. طرح کلی الگوریتم ژنتیک

جدول ۱. مشخصات چاههای مشاهده‌ای دشت میاندوآب

کد پیزومتر	UTM Y	UTMX	نام پیزومتر	میانگین سطح آب (متر)
۱۲	۴۰۸۴۹۷۰	۵۹۳۵۱۵	ملانکنی قدیم	۱۲۸۶/۸۶
۱۵	۴۰۸۶۴۶۳	۶۰۰۶۲۹	عسگرآباد	۱۲۹۱/۹۵
۱۸	۴۰۸۸۱۶۹	۵۸۸۵۳۴	سیستک	۱۲۸۱/۵۸
۲۳	۴۰۹۲۵۹۰	۵۹۴۸۵۴	جاده چیلک	۱۲۸۷/۹۱
۲۴	۴۰۹۲۸۳۲	۵۹۰۸۷۳	تازه‌کند	۱۲۸۴/۲۵
۲۶	۴۰۹۳۵۳۶	۵۸۵۰۰۷	گزلان	۱۲۸۲/۲۲

جدول ۲. بیلان آب زیرزمینی آبخوان دشت میاندوآب (بهصورت میانگین سالانه بر حسب میلیون مترمکعب)

پارامتر مشارکت‌کننده در بیلان	ورود	خروج
جریان آب زیرزمینی	۲۷/۴۴	۲۸/۲۶
تغذیه و زهکشی از بستر رودخانه و مسیل‌ها	۵۲/۲۸	۱۸/۶۷
zecheshi از طریق شبکه زهکشی	.	۱۶/۱۱
تبخیر سطحی از آبخوان	.	۷۰/۸۵
چاههای بهره‌برداری	.	۱۷۷۰/۲۱
نفوذ آب باران و آب برگشتی کشاورزی به آبخوان	۱۶۳/۰۲	.
نفوذ آب رهاسازی شده در شبکه بهمنظور کنترل سیلاب	۶۴/۹۷	.
جمع	۳۰۷/۷۲	۳۱۱/۰۹

$$Z_n = \frac{Z - Z_{min}}{Z_{max} - Z_{min}} \quad (3)$$

در این رابطه،  $Z$  معرف داده به صورت خام،  $Z_n$  داده‌های نرمالیزه شده،  $Z_{min}$  مینیمم داده‌ها،  $Z_{max}$  ماکزیمم داده‌هاست. چگونگی ورود داده‌ها در الگوریتم‌های انتخابات و ژنتیک بررسی میزان وابستگی داده‌های ورودی در انتخاب آنها اهمیت دارد. روش‌های مختلفی برای بررسی مستقل یا

**نرم‌السازی داده‌ها**  
هدف از نرم‌السازی داده‌ها، یکسان‌سازی اهمیت ورودی‌های مختلف به مدل‌های استفاده شده است. از آنجا که وارد کردن داده‌ها به صورت خام سبب کاهش سرعت و دقیقت مدل می‌شود، ورودی‌ها و خروجی‌ها باید بین صفر و یک استاندارد شوند، از این‌رو داده‌های استفاده شده به مدل به صورت رابطه ۳ نرمالیزه شوند.

شدن. در ابتدای کار برای سنجش کارایی الگوریتم انتخابات و ژنتیک، به آموزش و صحت‌سنجی الگوریتم‌ها در پیش‌بینی تراز آب زیرزمینی اقدام شد. نتایج ارائه شده در جدول ۴ بیان کننده این مطلب است. به طور کلی، برای پیش‌بینی تراز آب زیرزمینی با استفاده از الگوریتم انتخابات و ژنتیک، مقادیر تبخیر، بارش ماهانه، دبی رودخانه‌های زرینه‌رود و سیمینه‌رود و سطح آب زیرزمینی ماهانه (جدول ۴) استفاده شد. پارامترهای استفاده شده در الگوریتم‌های انتخابات و ژنتیک در جدول ۵ آورده شده است. پس از انجام آنالیز حساسیت، درصدهای مناسبی از داده‌ها برای آموزش و آزمایش استفاده شد که در نهایت ۷۵ درصد داده‌ها برای آموزش و ۲۵ درصد باقی‌مانده به عنوان آزمایش مدل‌ها استفاده شد.

وابسته بودن داده‌ها وجود دارد که در پژوهش حاضر از بررسی همبستگی دو داده استفاده شد (جدول ۳). هر چه میزان همبستگی دو داده به یک نزدیک باشد، نشان‌دهنده وابستگی خطی بیشتری است. با توجه به نتایج (ارائه شده در جدول ۳)، پارامترهای رطوبت، دما و تبخیر به یکدیگر وابسته‌اند، بنابراین پارامتر تبخیر به عنوان نماینده این سه پارامتر انتخاب شد، به‌گونه‌ای که پارامترهای رطوبت و دما در آموزش شبکه شرکت داده نشدند. به منظور بررسی میزان کارایی هر یک از مدل‌های استفاده شده در پیش‌بینی تراز آب زیرزمینی، پارامترهای تبخیر، بارش ماهانه، دبی رودخانه‌های زرینه‌رود و سیمینه‌رود در گام زمانی  $t_0$  و سطح آب زیرزمینی ماهانه در گام زمانی  $t_1$  در بازه زمانی مهر ۱۳۹۵ تا شهریور ۱۳۹۵ به عنوان ورودی مدل‌ها انتخاب

جدول ۳. همبستگی داده‌ها

گزلان	تازه‌کند	جاده چیلک	سیستک	عسگرآباد	ملانکندي قدیم	تبخیر	دما	رطوبت	بارش	
۰/۴۹	۰/۳۵	۰/۲۸	۰/۲۱	۰/۱۶	۰/۱۱	۰/۳۹	۰/۴۱	۰/۴۶	۱	بارش
۰/۲۵	۰/۱۹	۰/۲۱	۰/۳۰	۰/۳۲	۰/۸۱		۰/۸۵	۱		رطوبت
۰/۶۱	۰/۲۳	۰/۲۴	۰/۲۹	۰/۳۴	۰/۳۷	۰/۹۵	۱			دما
۰/۰۴۰	۰/۲۲	۰/۲۵	۰/۳۱	۰/۳۷	۰/۴۱	۱				تبخیر
						۱				ملانکندي قدیم
۰/۲۲	۰/۱۵	۰/۱	۰/۰۷۲	۰/۰۶۱		۱				عسگرآباد
۰/۲۳	۰/۲۱	۰/۱۷	۱							سیستک
۰/۲۴	۰/۲۰۵	۱								جاده چیلک
۰/۲۴۴	۱									تازه‌کند
۱										گزلان

جدول ۴. انحراف از معیار نتایج به دست آمده از آموزش و صحت‌سنجی الگوریتم‌های انتخابات و ژنتیک

کد پیزومتر	UTM Y	UTMX	نام پیزومتر مشاهده‌ای (متر)	انحراف معیار از مقادیر
۱۲	۴۰۸۴۹۷۰	۵۹۳۵۱۵	ملانکندي قدیم	EA GA
۱۵	۴۰۸۶۴۶۳	۶۰۰۶۲۹	عسگرآباد	۱/۹۸ ۲/۱۹
۱۸	۴۰۸۸۱۶۹	۵۸۸۵۳۴	سیستک	۱/۳۵ ۱/۶۴
۲۳	۴۰۹۲۵۹۰	۵۹۴۸۵۴	جاده چیلک	۱/۸۱ ۲/۰۲
۲۴	۴۰۹۲۸۳۲	۵۹۰۸۷۳	تازه‌کند	۱/۲۴ ۱/۴۵
۲۶	۴۰۹۳۵۳۶	۵۸۵۰۰۷	گزلان	۱/۸۷ ۱/۹۳

در این روابط،  $C_1, C_2, C_3, C_4, C_5, C_6, C_7, C_8$  و  $C_9$  ضرایب وزنی و نمایی برای ورودی‌های مد نظر (این ضرایب برای پیش‌بینی تراز آب زیرزمینی در دو الگوریتم EA و GA متفاوت است)، MSE میانگین مربعات خطأ،  $E_{T_{act}}, P_{T_{act}}, GL_{act}, Q_r$  و  $R_{T_{act}}$  به ترتیب تراز آب زیرزمینی مشاهداتی، تعداد چاهها، بارش، دبی رودخانه‌ها و تبخیر و تعداد داده‌های  $n$ . مقدار ثابت معادله است. هدف از پژوهش حاضر، مینیمم کردن معادله ۷ و به دست آوردن  $C$  است که این کار توسط الگوریتم‌های انتخابات و ژنتیک انجام می‌شود.

پس از تعریفتابع هدف، برای قسمت‌های مختلف مدل‌های استفاده شده اعم از جمعیت اولیه، نسبت داده‌های آموزش و آزمایش ... باید مقادیر مناسب را انتخاب کرد که البته انتخاب صحیح این مقادیر تأثیر مستقیمی در چگونگی عملکرد و سرعت مدل‌ها در مسئله مد نظر خواهد داشت.

پارامترهای استفاده شده در الگوریتم‌های انتخابات و ژنتیک، در جدول ۵ ارائه شده است.

که  $N_e$  معرف تعداد افرادی است که در الگوریتم انتخابات به عنوان نامزد اول انتخاب می‌شوند،  $N_v$  تعداد باقی‌مانده رأی‌دهندگان است.

شایان یادآوری است، مقادیر عددی پارامترهای ارائه شده در جدول ۵ برای الگوریتم‌های EA و GA پس از بررسی مقادیر مختلف برای پارامترها و اجرای هر دو الگوریتم به‌ازای این مقادیر تا رسیدن به بهینه‌ترین جواب انتخاب شدند.

#### معیارهای ارزیابی

برای مقایسه نتایج الگوریتم‌های EA و GA و روش شبکه عصبی مصنوعی با مقادیر مشاهداتی با یکدیگر و ارزیابی آنها، نیاز به شاخص‌هایی است که بتوانند کارکرد مدل را در کل مجموعه داده‌ها در مقایسه با نتایج تجربی، قضاوت کنند. در پژوهش حاضر از شاخص‌های ضریب همبستگی (R<sup>2</sup>), معیار نش-ساتکلیف (NSE) و جذر متوسط مربعات خطأ (RMSE)، به صورت روابط ۱۰ تا ۱۲ استفاده شد.

#### ضریب همبستگی

$$r = \frac{\sum_{i=1}^n (x_i - \bar{x})(Y_i - \bar{Y})}{\sqrt{\sum_{i=1}^n (x_i - \bar{x})^2} \sqrt{\sum_{i=1}^n (Y_i - \bar{Y})^2}} \quad (10)$$

#### تعریف مسئله

در پژوهش حاضر، از مدل شبکه عصبی مصنوعی و الگوریتم‌های انتخابات و ژنتیک در پیش‌بینی و بهینه‌سازی تراز آب زیرزمینی دشت میاندوآب با استفاده از چهار متغیر ورودی شامل پارامترهای زرینه‌رود و زیرزمینی، بارش، تبخیر، دبی رودخانه‌های زرینه‌رود و سیمینه‌رود و تراز آب زیرزمینی هر یک از پیزومترها با تأخیر زمانی  $t_0-1$  (ماه قبل) در دوره آماری ۱۰ سال استفاده شد. داده‌های به کار گرفته شده در این نوشتار در مجموع ۶۰۰ داده است که ۴۵۰ نمونه شامل داده‌های آموزشی برای ساخت مدل و ۱۵۰ نمونه دیگر به منظور صحبت‌سنجی این مدل توسط شرکت آب منطقه‌ای برداشت و آنالیز شده است.

با توجه به اینکه وارد کردن داده‌ها به صورت خام سبب کاهش سرعت و دقت مدل می‌شود، ورودی‌ها و خروجی‌ها باید طبق فرمول‌های زیر در بازه  $H-L$  که در پژوهش حاضر معادل یک و صفر انتخاب شد، استاندارد شوند. از این‌رو، داده‌های استفاده شده به مدل‌ها به صورت روابط ۴ تا ۶ نرمالیزه شدند [۲۳]:

$$X^* = mX_i + b \quad (4)$$

$$m = \frac{H-L}{Max(X)-Min(X)} \quad (5)$$

$$b = \frac{Max(X)L-Min(X)H}{Max(X)-Min(X)} \quad (6)$$

که  $X^*$  متغیر نرمال‌سازی شده و  $X_i$  متغیر اصلی است. برای الگوریتم‌های انتخابات و ژنتیک، کد عددی در نرم‌افزار متلب<sup>۱</sup> به کار گرفته شد که به منظور پیش‌بینی تراز آب زیرزمینی به فرم رابطه ۷ و تابع هدف در رابطه ۸ و ۹ آورده شده است:

$$\min f = C_1 GL_{act}^{C_1} + C_2 WT_{act}^{C_2} + C_3 Q_r^{C_3} + C_4 P^{C_4} + C_5 ET^{C_5} + C_6 \quad (7)$$

$$MSE = \sum_{i=1}^n \sqrt{N} (GL_{obs} - GL_{EA})^2 \quad (8)$$

$$MSE = \sum_{i=1}^n \sqrt{N} (GL_{obs} - GL_{GA})^2 \quad (9)$$

1. Matlab

جدول ۵. پارامترهای استفاده شده در الگوریتم های EA و GA

	GA	EA
۱۰۰	تعداد جمعیت اولیه	تعداد جمعیت اولیه
۶۰	درصد تولید نسل	$N_c$
۱۰	درصد جهش	میزان ائتلاف
۲۰	درصد انتقال به نسل بعدی	میزان انتخاب
Cost weighting	روش انتخاب والدین	-

در مدل‌ها، مقدار تراز آب زیرزمینی که تنها خروجی مدل‌ها را شامل می‌شود، محاسبه شد. همچنین، برای پیش‌بینی و مدل‌سازی تراز سطح آب زیرزمینی، از تعداد تکرار ۱۰۰۰ استفاده شد که عملکرد مناسب و خطای کمتری برای مدل‌های به کار گرفته شده داشت. پس از نرمالیزه کردن داده‌ها، مراحل آموزش و صحبت‌سنگی برای هر یک از پیزومترها اجرا شد.

به منظور صحبت‌سنگی نتایج به دست آمده از مدل‌سازی، با فرض ثابت بودن تمامی ضرایب و پارامترها، نتایج به دست آمده از مدل‌ها با داده‌های چاهه‌ای مشاهده‌ای، مقایسه شد. نتایج به دست آمده از مقایسه مقدار محاسبه شده با مقدار مشاهده‌ای در نمودارهای ۶ تا ۱۱ نشان داده شده است.

بر اساس نتایج ارائه شده در جدول ۶، میانگین مقدار به دست آمده از پارامترهای ارزیابی الگوریتم انتخابات،  $R^2$  به ترتیب برابر با ۰/۹۳، ۰/۹۲ و ۰/۹۱ هستند. RMSE و NSE به ترتیب برابر با ۰/۰۲۷، ۰/۰۲۷ و ۰/۷۴ هستند. در محدوده ایده‌آل و رضایت‌بخش قرار دارند و روند خاصی در خطاها که بیان کننده تجمع خطا در مدل‌ها باشد، ملاحظه نمی‌شود.

### مجذور مربعات خطأ

$$RMSE = \sqrt{\frac{1}{N} \sum_{i=1}^N (x_i - y_i)^2} \quad (11)$$

### معیار نش-ساتکلیف

$$NSE = 1 - \frac{\sum_{i=1}^N (x_i - y_i)^2}{\sum_{i=1}^N (x_i - \bar{x})^2} \quad (12)$$

که در این روابط،  $x_i$  مقدار پیش‌بینی شده،  $y_i$  ها مقدار مشاهده شده،  $\bar{x}$  میانگین  $x$  و  $\bar{y}$  میانگین  $y$  هاست. مقدار ایده‌آل به ترتیب برای  $R^2$  و RMSE برابر یک و ۱-۰ درصد است. مقدار معیار نش-ساتکلیف (NSE) از یک تا منفی بی‌نهایت تغییر می‌کند، به طوری که محدوده‌های ۰/۷۵-۰/۳۶ و ۰/۰۷۵-۰/۰۲۷ به ترتیب بیان کننده عملکرد بسیار خوب، رضایت‌بخش و ضعیف مدل استفاده شده است.

### نتایج و بحث

#### صحبت‌سنگی

پس از معرفیتابع هدف و انجام تحلیل حساسیت و یافتن مقادیر بهینه پارامترهای مؤثر الگوریتم و به کارگیری آنها

جدول ۶. میانگین مقدار به دست آمده از پارامترهای ارزیابی

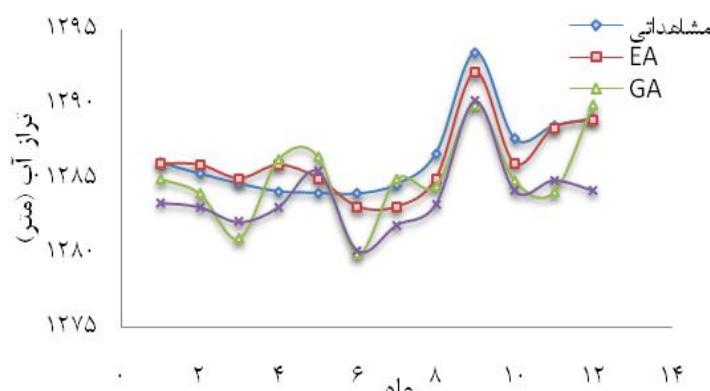
نام پیزومتر	EA			GA			ANN		
	$R^2$	RMSE	NSE	$R^2$	RMSE	NSE	$R^2$	RMSE	NSE
ملکنده قدیم	۰/۹۳	۰/۰۲۲	۰/۷	۰/۸۹	۰/۰۴۷	۰/۵	۰/۹	۰/۰۴۱	۰/۴۸
عسگرآباد	۰/۹۲	۰/۰۳۷	۰/۷۳	۰/۹۱	۰/۰۵۴	۰/۴۲	۰/۹۱	۰/۰۴۶	۰/۴۲
سیستک	۰/۹۱	۰/۰۲۵	۰/۸	۰/۹۰	۰/۰۴۲	۰/۵۵	۰/۹۳	۰/۰۵	۰/۳۸
تاره‌کند	۰/۹۳	۰/۰۲۱	۰/۷۷	۰/۸۸	۰/۰۴۹	۰/۳۷	۰/۸۹	۰/۰۴۲	۰/۵
جاده چیلک	۰/۹۵	۰/۰۲۳	۰/۷۴	۰/۸۴	۰/۰۵۳	۰/۴۱	۰/۹	۰/۰۳۹	۰/۵۲
گرلان	۰/۹۲	۰/۰۳۰	۰/۷۵	۰/۹	۰/۰۵۱	۰/۳۹	۰/۹۱	۰/۰۴۱	۰/۳۹

با توجه به نتایج به دست آمده از سه روش استفاده شده، روند تغییرات زمانی تراز آب زیرزمینی در ماههای فروردین، دی، بهمن و اسفند بدلیل وجود بارندگی در این ماهها، بیشتر از ماههای تابستان است که سطح آب کمترین مقدار خود را دارد.

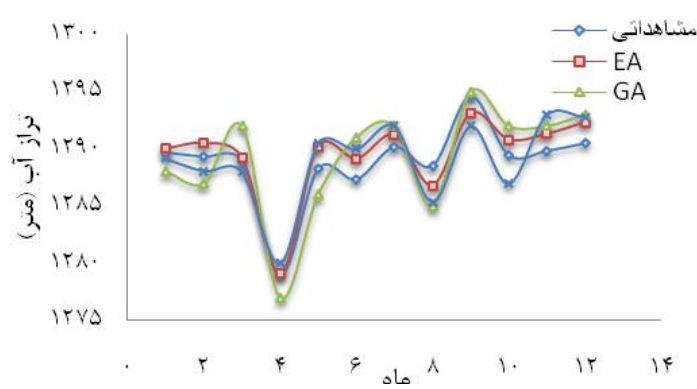
با توجه به شکل‌های ۶ و ۷، مشخص می‌شود که در پیزومترهایی که در نواحی نزدیک به سواحل رودخانه‌های اصلی عبوری از دشت میاندوآب واقع‌اند (چاههای مشاهده‌ای جاده چیلک و تازه‌کند)، موقعیت سیلاب در رودخانه‌ها و نیز کاهش جريان آب در آنها، به علت تأثیرپذیری بسیار زیاد تراز سطح آب در این پیزومترها از جریان آب رودخانه‌ها، به افزایش میزان خطأ منجر شده است.

مقایسه نتایج مدل‌سازی با ترازهای اندازه‌گیری شده در چاههای مشاهده‌ای به شرح شکل‌های ۶ تا ۱۱ است. همان‌گونه که ملاحظه می‌شود، نتایج به دست آمده از الگوریتم انتخابات در مقایسه با الگوریتم ژنتیک و شبکه عصبی مصنوعی بسیار بهینه است و اختلاف بسیار ناچیزی با مقادیر مشاهداتی دیده می‌شود که این نشان‌دهنده کارایی و راندمان بسیار زیاد الگوریتم انتخابات است.

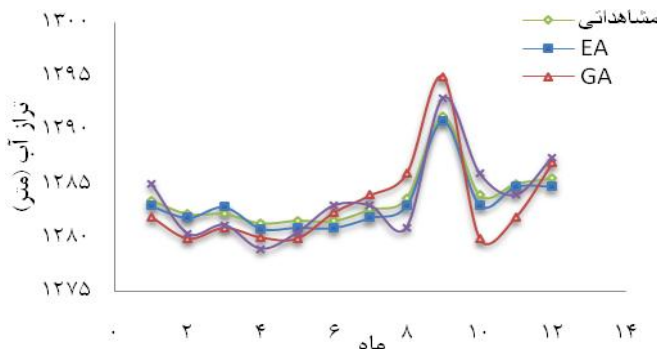
با توجه به شکل‌های ۶ تا ۱۱ مشاهده می‌شود که الگوریتم انتخابات در مقایسه با روش شبکه عصبی مصنوعی و الگوریتم ژنتیک توانسته است روند تغییرات سطح آب دشت میاندوآب را به خوبی شبیه‌سازی کند. در نتیجه، قادر است تغییرات تراز آب را در ماههای مختلف با توجه به تغییر در میزان تغذیه و تخلیه از آبخوان طی این مدت به درستی محاسبه کند.



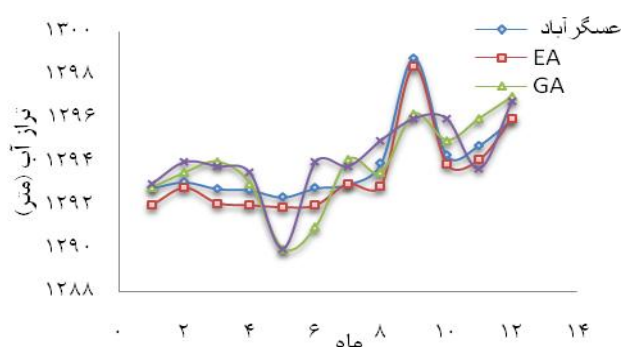
شکل ۶. مقایسه نتایج مدل‌ها در چاه مشاهده‌ای ایستگاه تازه‌کند



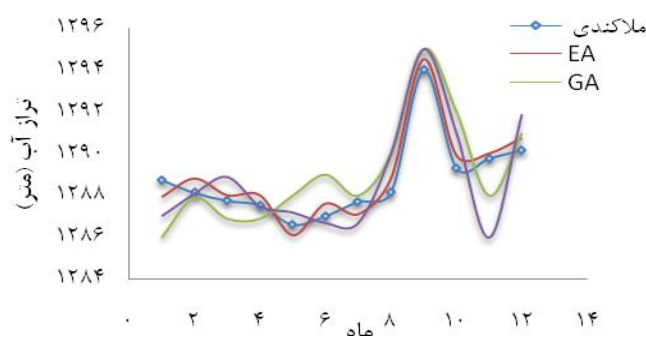
شکل ۷. مقایسه نتایج مدل‌ها در چاه مشاهده‌ای ایستگاه جاده چیلک



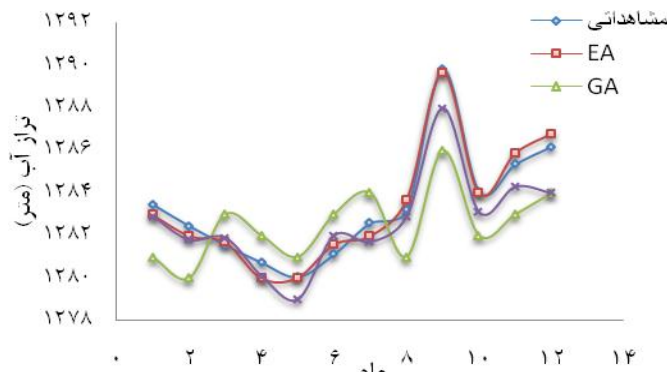
شکل ۸. مقایسه نتایج مدل‌ها در چاه مشاهده‌ای ایستگاه سیستک



شکل ۹. مقایسه نتایج مدل‌ها در چاه مشاهده‌ای ایستگاه عسگرآباد



شکل ۱۰. مقایسه نتایج مدل‌ها در چاه مشاهده‌ای ایستگاه ملاکندی

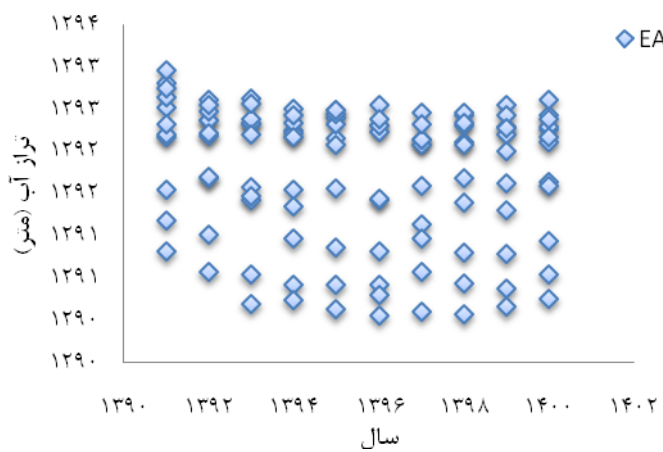


شکل ۱۱. مقایسه نتایج مدل‌ها در چاه مشاهده‌ای ایستگاه گزلان

۱۲، تراز آب زیرزمینی برای سال‌های ۱۳۹۱–۱۴۰۰ توسط الگوریتم انتخابات پیش‌بینی شده است.

همان طور که در شکل ۱۲ نیز مشاهده می‌شود، در صورت ادامه روند کنونی برداشت از آب زیرزمینی، میزان تعییرات تراز سطح آب در دشت تقریباً ثابت باقی مانده و ذخیره آب طی این ده سال فقط حدود ۲۰ میلیون مترمکعب (دو میلیون مترمکعب در هر سال) افزایش پیدا خواهد کرد که نشان‌دهنده تعادل نسبی آبخوان در وضعیت کنونی است.

مقایسه نتایج مطالعه حاضر با نتایج سایر تحقیقات با توجه به آنکه تا کنون مطالعات محدودی درباره مدل‌سازی و پیش‌بینی تراز آب‌های زیرزمینی توسط الگوریتم‌های فرآبتكاری انجام شده است، نتایج به دست آمده از پژوهش حاضر با نتایج پژوهش‌های محمدی و همکارانش (۱۳۹۶) و رجائی و همکارانش (۱۳۹۵) که مطالعاتی برای پیش‌بینی تراز آب زیرزمینی انجام دادند، مقایسه شد. در جدول ۷ و شکل ۱۲، نتایج ارزیابی مدل‌های الگوریتم هیبرید ازدحام ذرات، مدل ترکیبی موجک-عصبی و الگوریتم انتخابات ارائه شده است.



شکل ۱۲. پیش‌بینی تراز آب زیرزمینی برای سال‌های ۱۳۹۱–۱۴۰۰

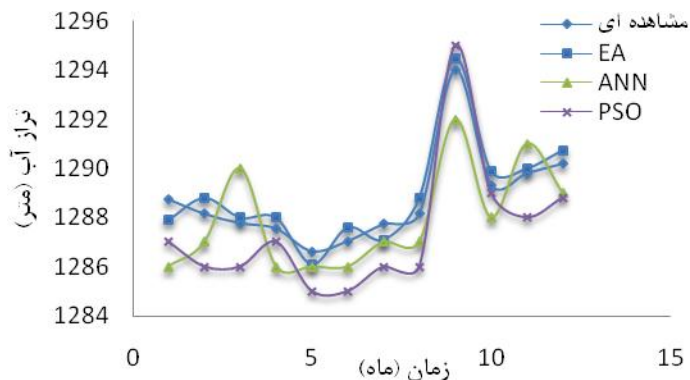
جدول ۷. نتایج ارزیابی مدل‌های الگوریتم هیبرید ازدحام ذرات، مدل ترکیبی موجک-عصبی و الگوریتم انتخابات

روش شبکه عصبی رجائی و پوراصلان (۱۳۹۴)	الگوریتم هیبرید ازدحام				الگوریتم انتخابات (پژوهش حاضر)	ماه
	ذرات (محمدی و همکاران (۱۳۹۶))	R <sup>2</sup>	RMSE	R <sup>2</sup>		
RMSE	R <sup>2</sup>	RMSE	R <sup>2</sup>	RMSE	R <sup>2</sup>	-
۰/۱۰	۰/۳	۰/۹۱	۰/۵۴	۰/۰۳۲	۰/۹۱	۲
۰/۰۶۱	۰/۷۳	۱۲/۱	۰/۴۳	۰/۰۳۷	۰/۹۲	۳
۰/۱۶	۰/۵۳	۱/۰۸	۰/۰۵۳	۰/۰۲۵	۰/۹۱	۴

با توجه به شکل‌های ۸ تا ۱۱ مشخص می‌شود که کارایی هر سه مدل، در پیش‌بینی تراز سطح آب زیرزمینی در قسمت‌های مرکزی و شمالی دشت میاندوآب در مقایسه با بخش‌های جنوبی آن که بیشتر تحت تأثیر مرزهای ورودی هستند، قابل قبول‌تر است. این امر به دلیل عدم امکان برآورد دقیق میزان آب ورودی از مرزها روی داده و به بروز خطا در برخی از پیزومترهای حاشیه‌ای دشت میاندوآب در تعدادی از ماههای سال منجر شده است.

همچنین، نتایج به دست آمده از اجرای مدل‌ها نشان داد میزان آب پیش‌بینی شده در بیشتر پیزومترهای واقع در یک محدوده خاص (از جمله شکل‌های ۶ و ۹)، کمتر از مقدار مشاهداتی برای آنهاست، که این امر به دلیل تأثیر فرض‌های ساده‌کننده بر نتایج مدل‌سازی، به برخی از رویدادهای پیش‌بینی شده در فرایند ساخت مدل برمی‌گردد.

پس از اثبات کارایی و دقت الگوریتم انتخابات در پیش‌بینی تراز آب زیرزمینی دشت میاندوآب در مقایسه با روش شبکه عصبی مصنوعی و الگوریتم ژنتیک، در شکل



شکل ۱۳. مقایسه مدل‌های الگوریتم هیبرید ازدحام ذرات، مدل ترکیبی موجک- عصبی و الگوریتم انتخابات در پیش‌بینی تراز آب زیرزمینی

NSE و RMSE دقت زیادی در پیش‌بینی تراز آب زیرزمینی داشت میاندوآب داشت. نتایج نشان داد الگوریتم انتخابات در قسمت‌های مرکزی داشت میاندوآب، شبیه‌سازی تراز سطح آب را با موفقیت بیشتری انجام داده است. در نتیجه، این مدل قادر است با دقت زیادی تراز آب زیرزمینی را در محدوده مطالعه شده پیش‌بینی کرده و از صرف زمان و هزینه‌های بیشتر برای حفر پیزومترهای زیادتر جلوگیری کند. همچنین، نتایج به دست آمده نشان داد کارایی الگوریتم انتخابات با کسب خطای کمتر در مقایسه با دو مدل دیگر، رضایت‌بخش است و برای بهبود نتایج از پژوهش حاضر توصیه می‌شود که الگوریتم پیشنهادی در مطالعات بعدی و برای مناطق دیگر استفاده شود.

#### منابع

- [1]. Hamzehkani H, Aghaie M M. Modeling of groundwater in the Miandoab plain using remote sensing technology to verify the aquifer's effectiveness on surface currents. Remote Sensing Research Center (RSRC). Urmia Lake Restoration Program. Sharif University Technology. 2015; 150 pages. [Persian]
- [2]. Urmia lake restoration program. Remote Sensing Research Center. Sharif University Technology. 2015. [Persian]
- [3]. Mohtasham M, Dehghani AA, Akbarpour A, Meftah M, Etebari B. Groundwater level determination by using artificial neural network (Case study: Birjand Aquifer). Iran. J. Irrig. Drain. 2010; 1 (4): 1-10. [Persian]
- [4]. Merikh-Bayat F. Evolutionary optimization algorithms (with applications in electrical engineering). Jahad Academic Press. 2014. [Persian]

با توجه به مقایسه صورت گرفته، نتایج به دست آمده از اجرای الگوریتم انتخابات در مقایسه با نتایج پژوهش‌های محمدی و همکارانش (۱۳۹۶) و رجائی و پوراصلان (۱۳۹۴)، که به ترتیب عملکرد الگوریتم هیبرید ازدحام ذرات و روش شبکه عصبی را برای پیش‌بینی تراز آب زیرزمینی در دو دشت اردبیل و داورزن خراسان رضوی بررسی کرده بودند، بسیار رضایت‌بخش است، به گونه‌ای که الگوریتم انتخابات با میانگین مجذور مربعات خطای نسبت به دو روش ضریب همبستگی ۰/۹۱ و ۰/۰۲۸ یادشده نتایج قابل قبول تری ارائه داد.

#### نتایج

در پژوهش حاضر برای نخستین بار به منظور پیش‌بینی تراز آب زیرزمینی داشت میاندوآب از الگوریتم انتخابات استفاده و نتایج به دست آمده از آن با نتایج روش شبکه عصبی مصنوعی و الگوریتم ژنتیک مقایسه شد. این مدل‌ها به دلیل توانایی و کارایی زیاد در مدل‌سازی قادر به حل بسیاری از مسائل پیچیده و پیش‌بینی پدیده‌های هیدرولوژیکی و هیدرولوژیکی‌اند. برای پیش‌بینی تراز آب زیرزمینی از پارامترهای بارش، تبخیر و دبی رودخانه‌های زرینه‌رود و سیمینه‌رود در گام زمانی ۰-۱۰ زمانی در گام زمانی ۰-۱ به عنوان ورودی‌های مدل‌ها استفاده شد. تجزیه و تحلیل‌های انجام‌شده با استفاده از شاخص‌های آماری بین داده‌های مشاهداتی و پیش‌بینی شده نشان داد الگوریتم انتخابات در مقایسه با روش شبکه عصبی مصنوعی و الگوریتم ژنتیک، با تعداد تکرار ۱۰۰۰ و به ترتیب با به دست آمدن مقادیر ضریب همبستگی بیش از ۹۰ درصد (۹۵ درصد)،

- [5]. Yaghini M, Akhavan-Kazemzadeh M R. Evolutionary optimization algorithms. Jahad Academic Press of Amirkabir University. 2016. [Persian]
- [6]. Yang Z P, Lu W X, Long Y Q, Li P. Application and comparison of two prediction models for groundwater levels: a case study in Western Jilin Province, China. *J. Arid Environ.* 2009; 73: 487-492.
- [7]. Shiri J, Kisi O. Comparison of genetic programming with neurofuzzy systems for predicting short-term water table depth fluctuations. *Comput. Geosci.* 2011; 37: 1692-1701.
- [8]. Rajaie T, Pour-Aslan, F. Prediction of the time and local of the groundwater level of Davarzan plain. *Hydrogeomorphology*. 2015; 4: 1-19. [Persian]
- [9]. Mahmoodijam S, Ghoreyshi-Najafabadi S H, Vafaienejad A R, Khazayi S. Potentiometric analysis of groundwater resources using hybrid approach to particle swarm optimization algorithm and spatial information system (case study: Mehran plain, Ilam). *Ecohydrology*. 2017; 4(4): 1199-1213. [Persian]
- [10]. Habibi M H, Nadiri A A, Asghari-Moghaddam A. Spatio-temporal Groundwater Level Prediction Using Hybrid Genetic-Kriging Model (Case Study: Hadishahr Plain). *Iran Water Resources*. 2016; 11(3): 85-99. [Persian]
- [11]. Moosavi V, Vafakhah M, Shirmohammadi B, Behnia N. A wavelet-ANFIS hybrid model for groundwater level forecasting for different prediction periods. *J Water Resour Manage* 2013; 27: 1301–1321.
- [12]. Taghizadeh S A, Fereydony M. Simulation of groundwater level by applying two methods of wavelet-neural fuzzy inference and wavelet-neural network and comparing them with each other. International Conference on Civil Engineering, Architectural and Urban Development. Tehran. 2017; 1-11. [Persian]
- [13]. Khashei-Siuki A, Ghahreman B, Kochakzadeh M. Comparison of Artificial Neural Network Models, ANFIS and regression in estimation of Neyshabour plain aquifer level. *Iran. J. Irrig. Drain.* 2013; 7(1): 10-22. [Persian]
- [14]. Nikmanesh M R. Application of artificial intelligence integration methods in prediction of groundwater levels in Khorameh plain of Marvdasht in Fars province. Iranian Water Resources Management Conference. AmirKabir Politechnic University. 2011. [Persian]
- [15]. Akbarzadeh F, Hasanzadeh H, Emamgholizadeh S. Groundwater Level Prediction of Shahrood Plain using RBF Neural Networks. *Journal of Watershed Management Research*. 2014; 7(13): 104-118. [Persian]
- [16]. Abareshi F, Meftah Halghi M, Sanikhani H, Dehghani A A. Comparison of three intelligence techniques for predicting water table depth fluctuations (Case study: Zarringol plain). *J. Water and Soil Conservation*. 2014; 21(1): 163-180. [Persian]
- [17]. Mohammadi B, Bazar S M, Asadi, E. Performance of hybrid particle swarm algorithm to simulate water level (Case study: Ardabil aquifer). *Stained Rainfall Systems*. 2017; 5(15): 77-87. [Persian]
- [18]. Zarrinehrood drainage and irrigation project. *Groundwater Studies of Miandoab Plain*, Mahab Ghods Engineering Advisory Company, West Azarbaijan Regional Water Organization. 1990. [Persian]
- [19]. Report of the status and execution of Zarrinehrood projects. Mahab Ghods Engineering Advisory Company, West Azarbaijan Regional Water Organization. 2009. [Persian]
- [20]. Emami H, Derakhshan F. Election algorithm: A new socio-politically inspired strategy. *AI Communications*. 2015; 28: 591–603.
- [21]. Menhaj M B. Computational Intelligence, No. 1. The Basic of Artificial Neural Networks. Amirkabir University. 1998. [Persian]
- [22]. Goldberg D E. Genetic algorithms in search, optimization and machine learning. Addison-Wesley, Reading, Mass. 1989.
- [23]. Larose D T. Discovering knowledge in data: an introduction to data mining. Jhon Wiley & Sons Inc. 2005; 240 p.